

CONSTITUINTES QUÍMICOS DAS CASCAS DO CAULE DE *Vochysia thyrsoidea* Pohl. (Vochysiaceae) E AVALIAÇÃO DAS ATIVIDADES CITOTÓXICA E INIBITÓRIA FRENTE AS CATEPSINAS B E K

Lorena Ramos Freitas de Sousa<sup>a</sup>, Jame's A. da Silva<sup>a</sup>, Paulo Cezar Vieira<sup>a</sup>, Maísa Borges Costa<sup>b</sup>, Mirley Luciene dos Santos<sup>b</sup>, Aline Borba Sbardelotto<sup>c</sup>, Cláudia do Ó Pessoa<sup>c</sup>, Manoel Odorico de Moraes<sup>c</sup> e Antônio Carlos Severo Menezes<sup>\*a,b</sup>

<sup>a</sup>Departamento de Química, Universidade Federal de São Carlos, Rod. Washington Luís, Km 235, 13565-905 São Carlos – SP, Brasil

<sup>b</sup>Unidade Universitária de Ciências Exatas e Tecnológicas, Universidade Estadual de Goiás, Br. 153, 3.105, 75132-903 Anápolis – GO, Brasil

<sup>c</sup>Departamento de Fisiologia e Farmacologia da Faculdade de Medicina, Universidade Federal do Ceará, Rua Coronel Nunes de Melo, 1127, 60431-970 Fortaleza – CE, Brasil

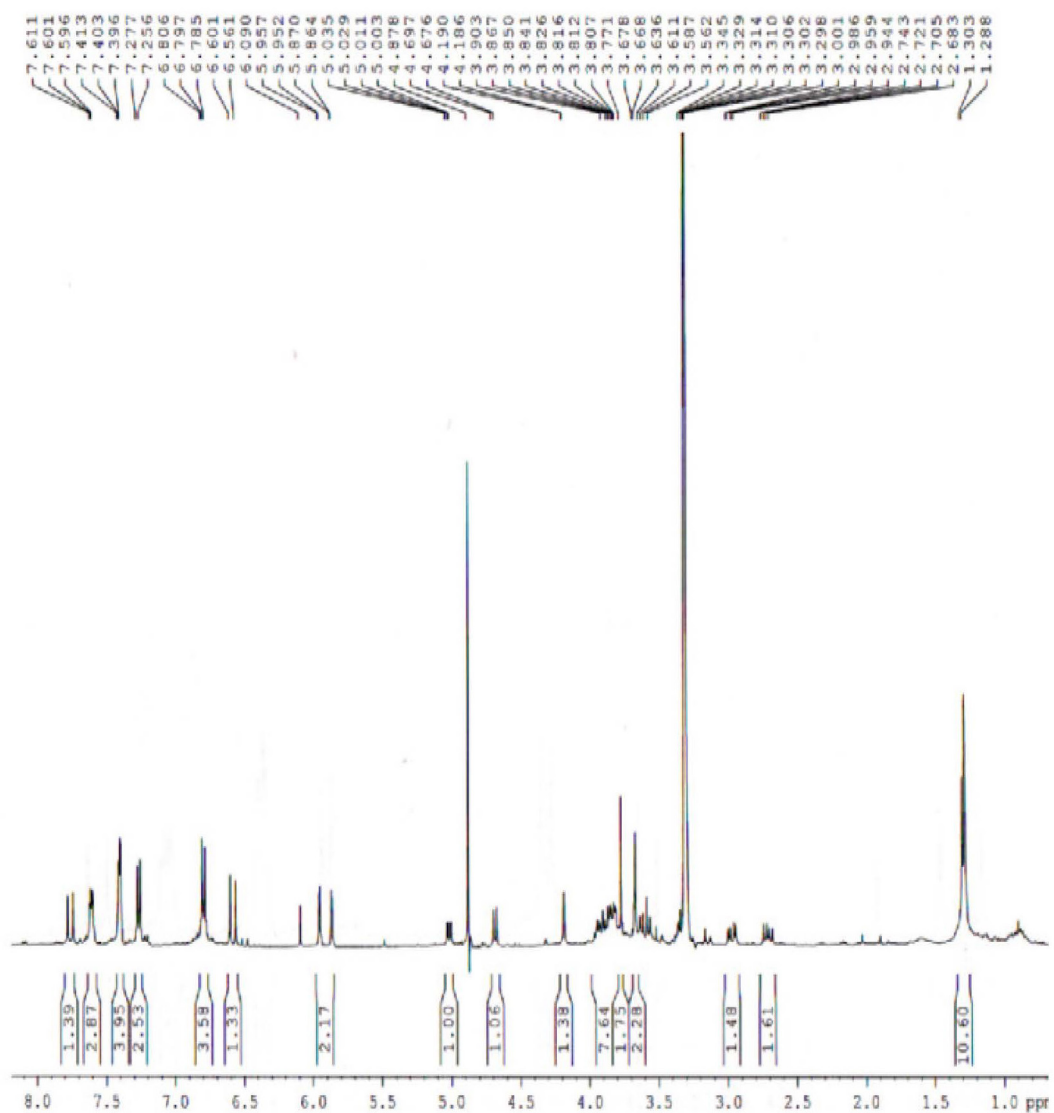


Figura 1S. Espectro de RMN <sup>1</sup>H de 1, 400 MHz, CD<sub>3</sub>OD

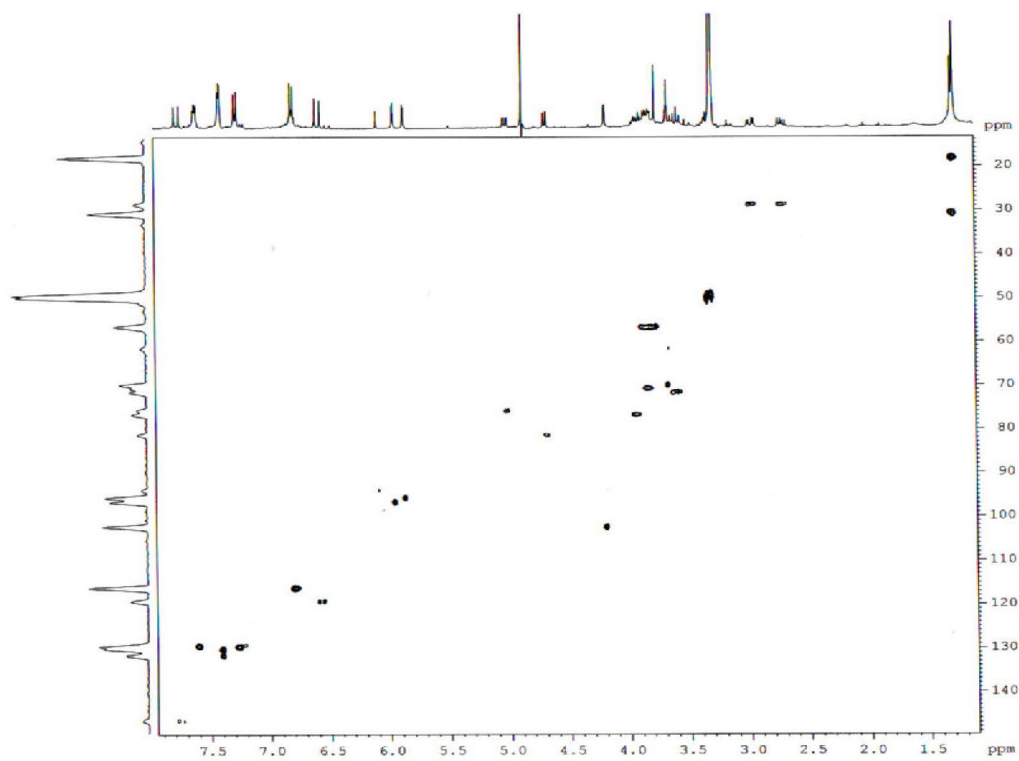


Figura 2S. Mapa de correlação de HSQC de 1,  $^1\text{H}$ : 400 MHz,  $^{13}\text{C}$ : 100 MHz,  $\text{CD}_3\text{OD}$

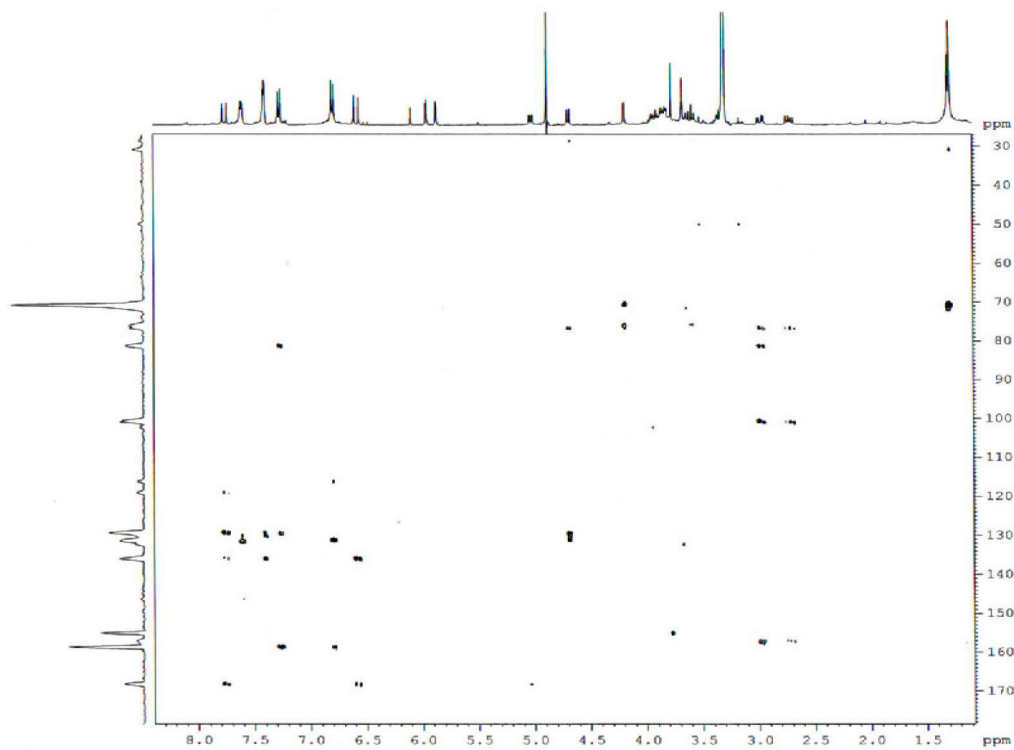


Figura 3S. Mapa de correlação de HMBC de 1,  $^1\text{H}$ : 400 MHz,  $^{13}\text{C}$ : 100 MHz,  $\text{CD}_3\text{OD}$

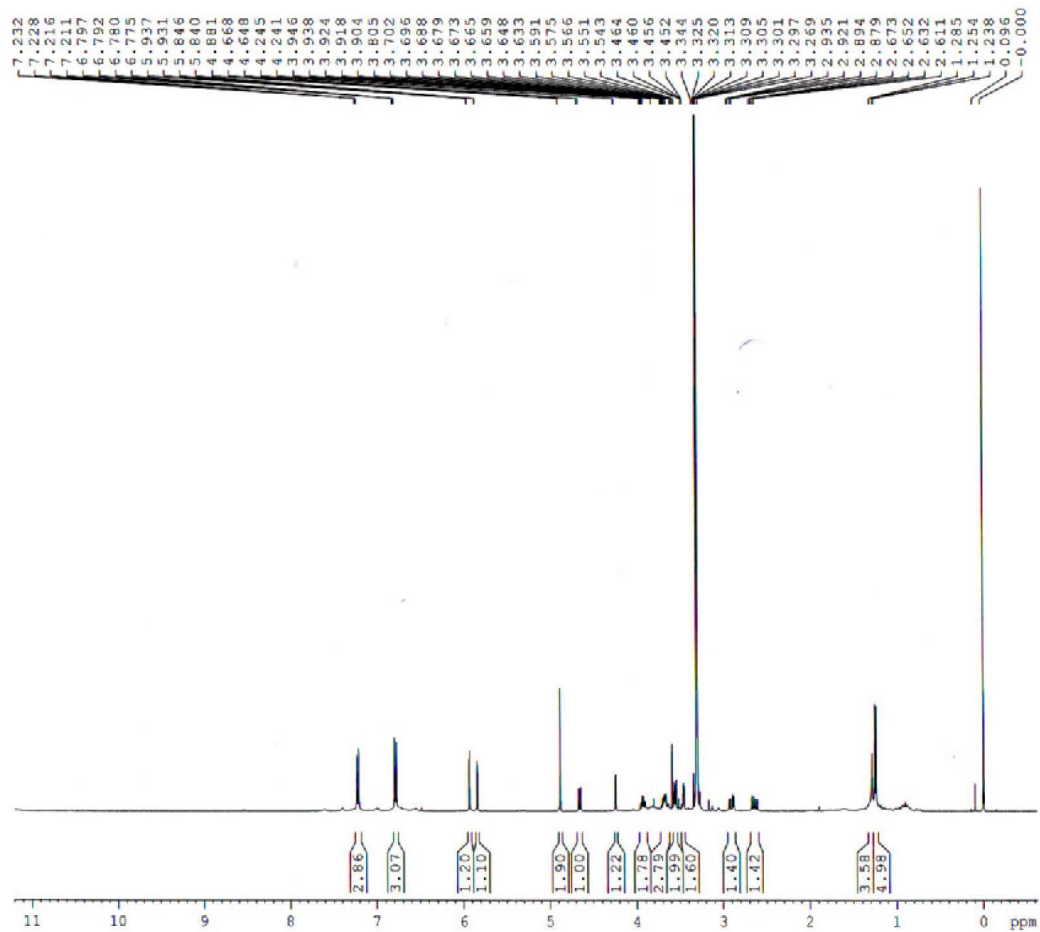


Figura 4S. Espectro de RMN  $^1\text{H}$  de **2**, 400 MHz,  $\text{CD}_3\text{OD}$

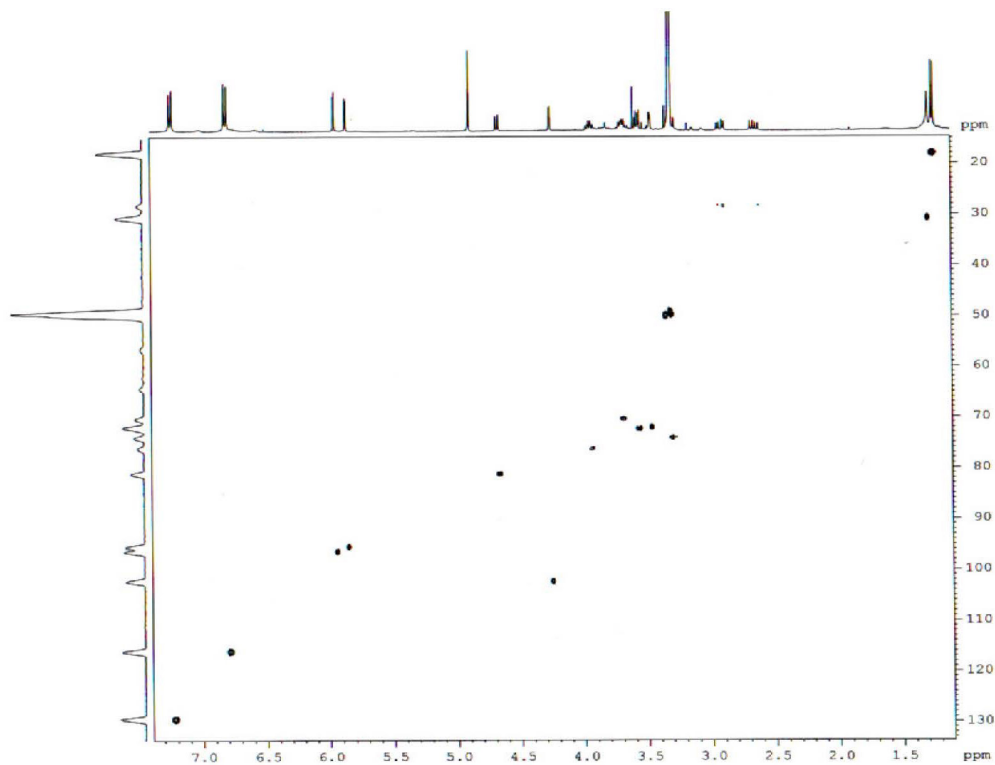


Figura 5S. Mapa de correlação de HSQC de **2**,  $^1\text{H}$ : 400 MHz,  $^{13}\text{C}$ : 100 MHz,  $\text{CD}_3\text{OD}$

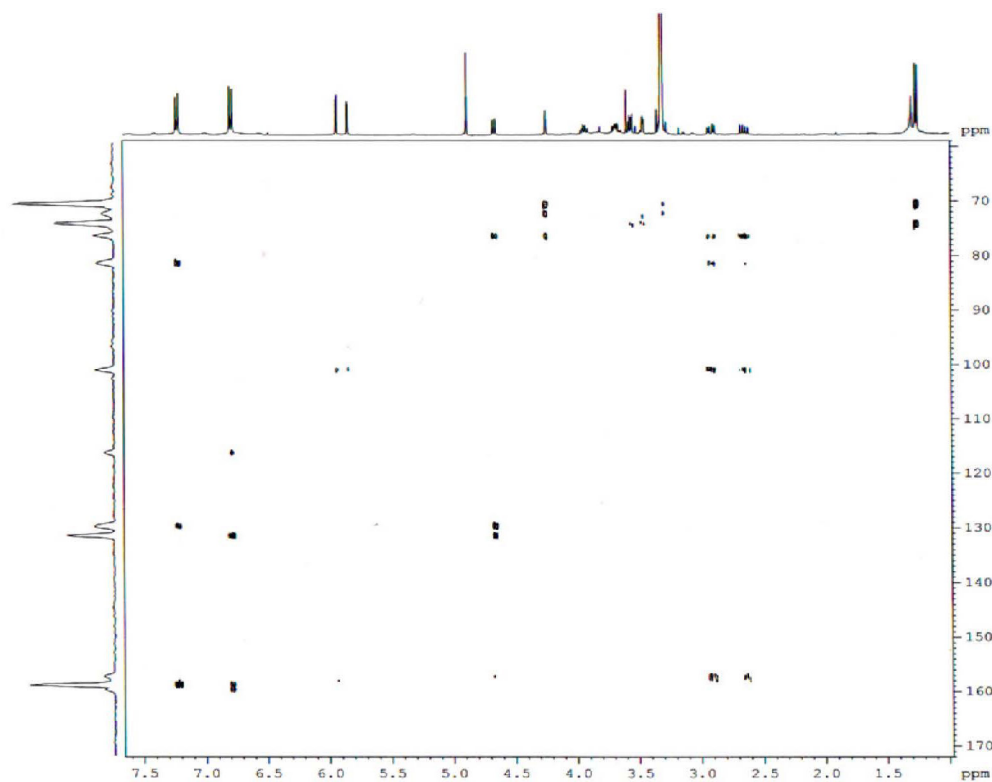


Figura 6S. Mapa de correlação de HMBC de 2,  $^1\text{H}$ : 400 MHz,  $^{13}\text{C}$ : 100 MHz,  $\text{CD}_3\text{OD}$

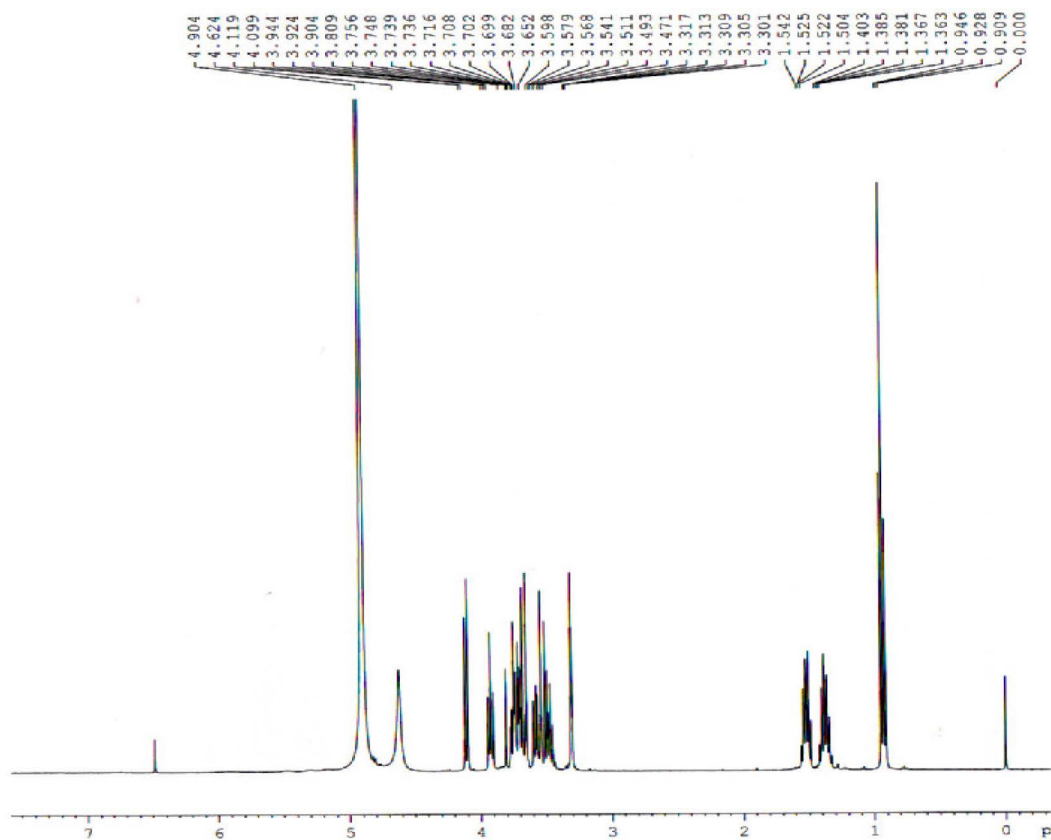


Figura 7S. Espectro de RMN  $^1\text{H}$  de 3, 400 MHz,  $\text{CD}_3\text{OD}$

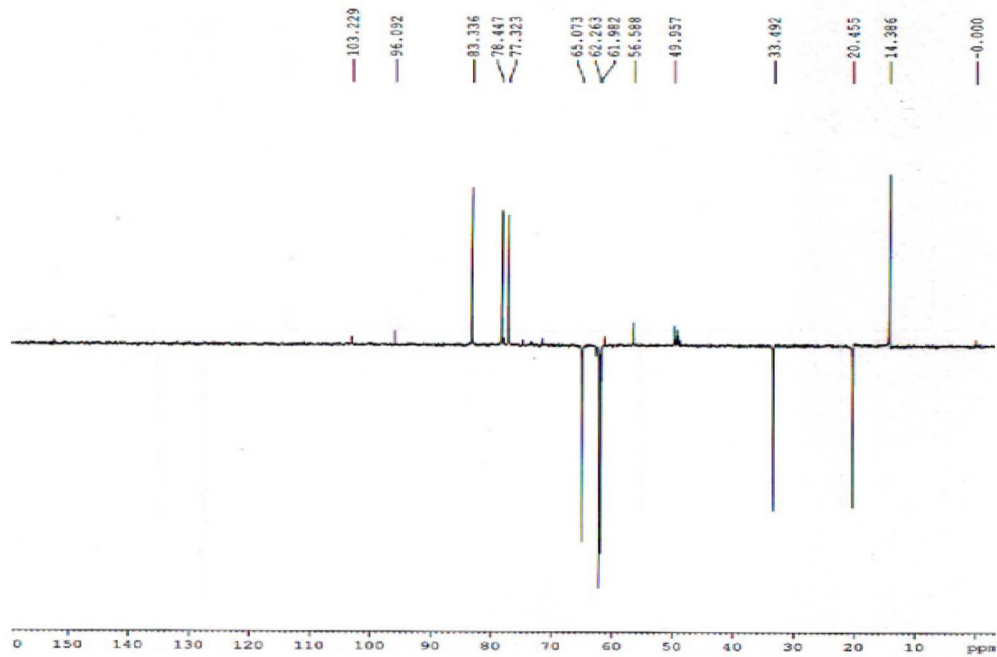


Figura 8S. DEPT 135<sup>o</sup> de 3, <sup>1</sup>H: 400 MHz, <sup>13</sup>C: 100 MHz, CD<sub>3</sub>OD

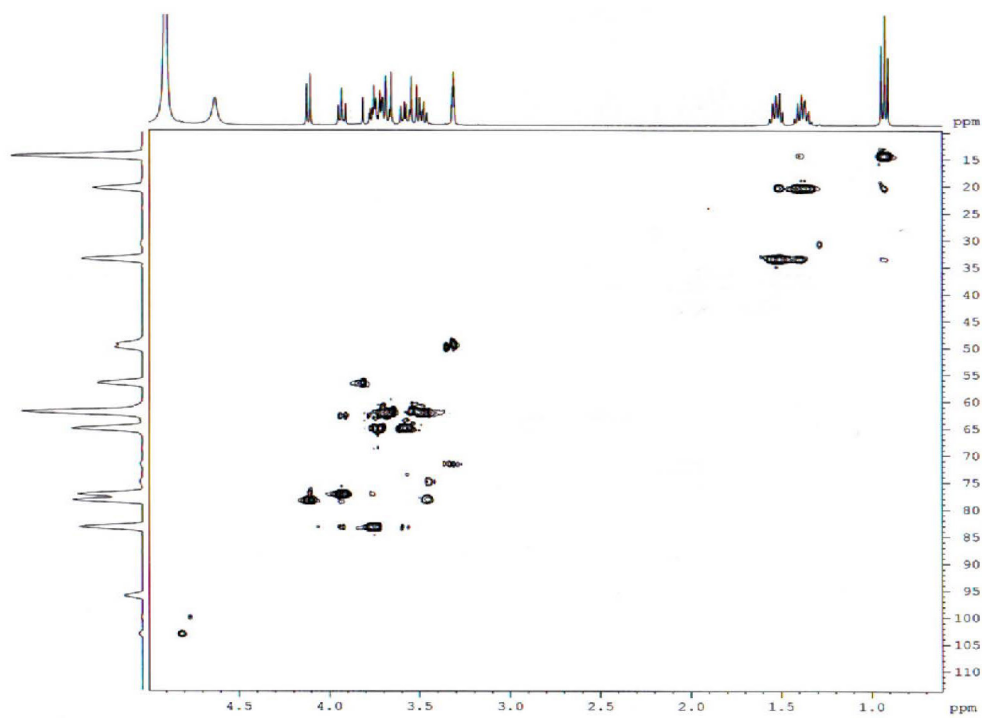


Figura 9S. Mapa de correlação de HSQC de 3, <sup>1</sup>H: 400 MHz, <sup>13</sup>C: 100 MHz, CD<sub>3</sub>OD

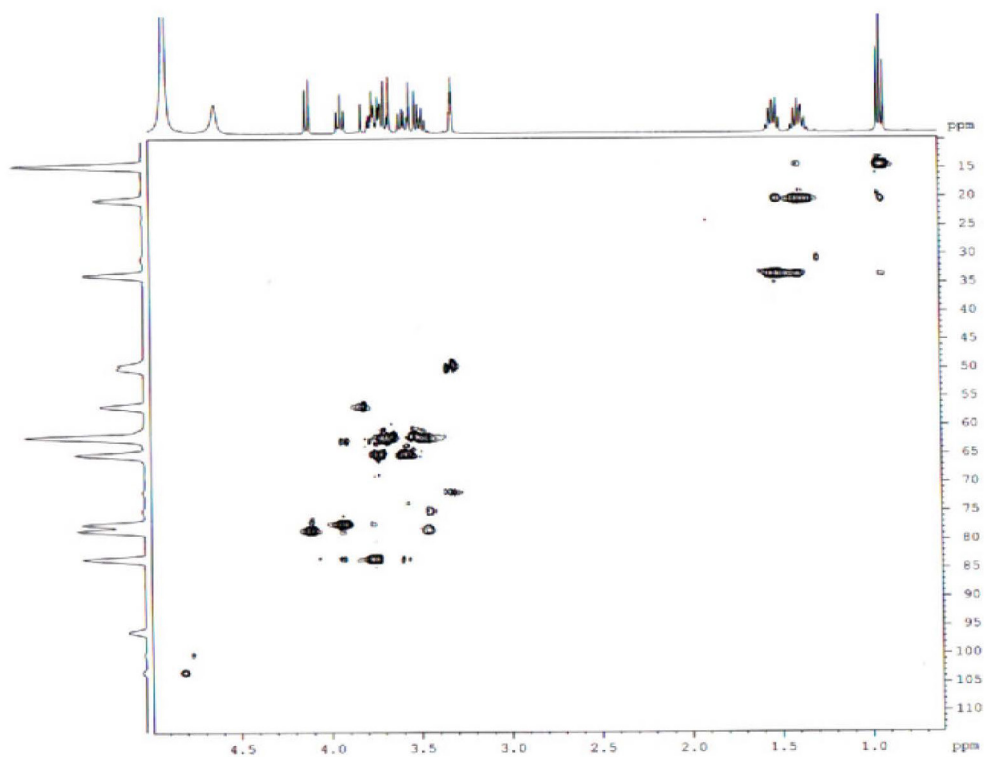


Figura 10S. Mapa de correlação de HMBC de 3,  $^1\text{H}$ : 400 MHz,  $^{13}\text{C}$ : 100 MHz,  $\text{CD}_3\text{OD}$

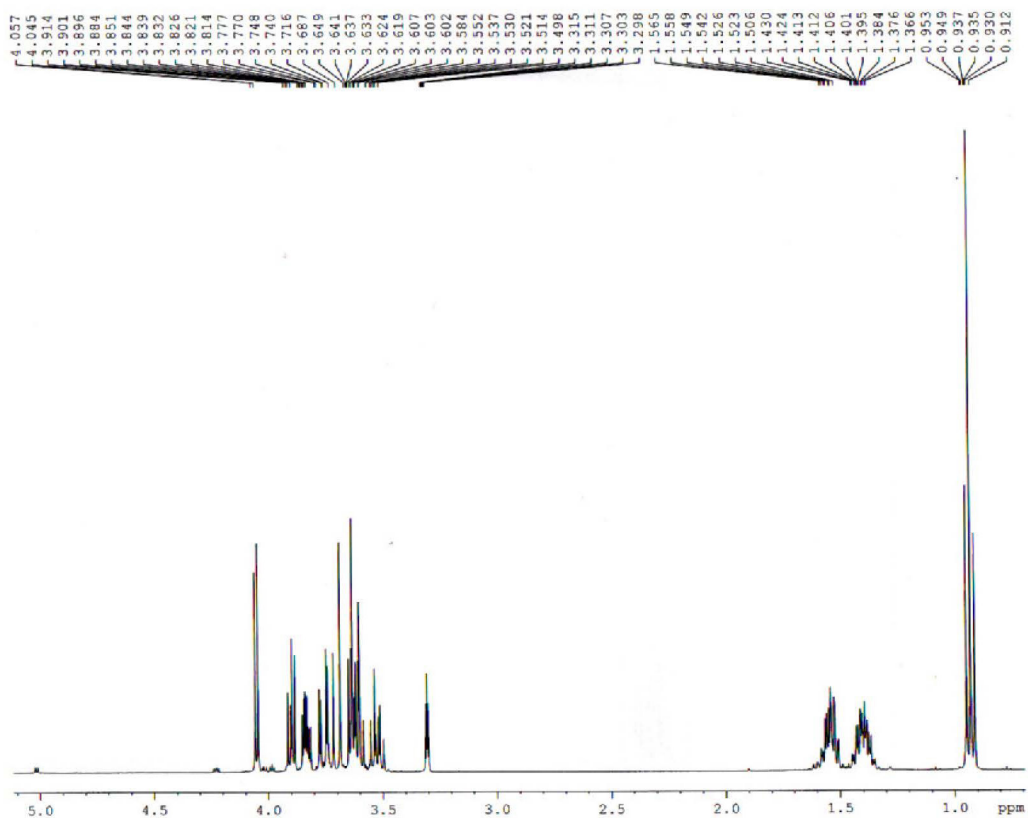


Figura 11S. Espectro de RMN  $^1\text{H}$  de 4, 400 MHz,  $\text{CD}_3\text{OD}$

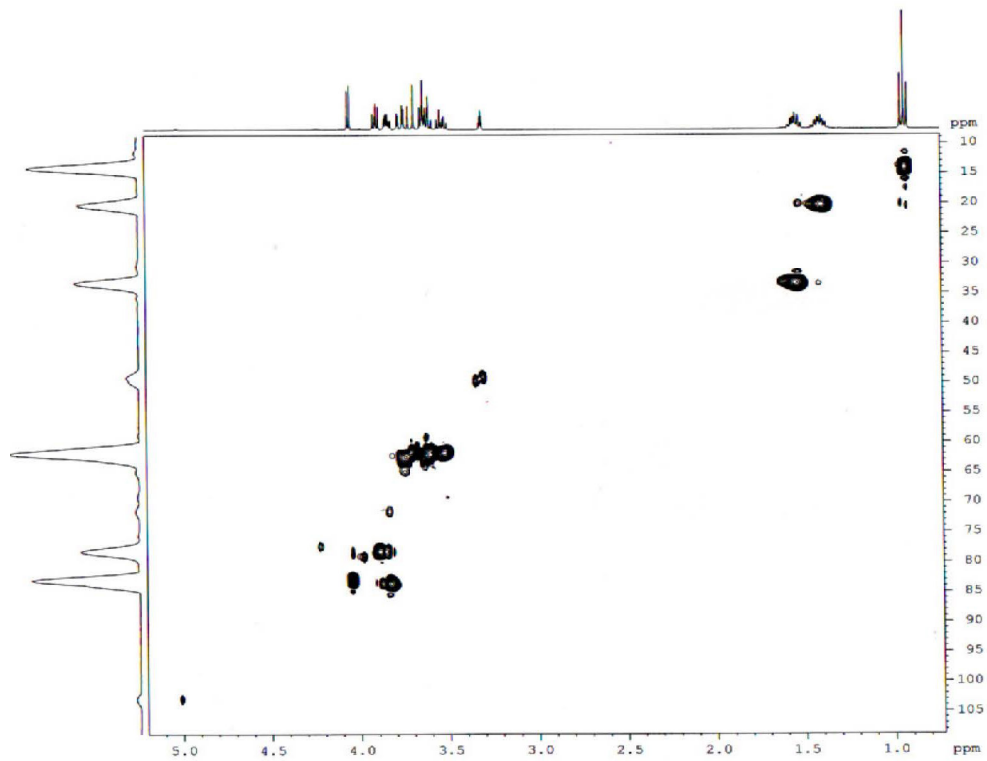


Figura 12S. Mapa de correlação de HSQC de **4**,  $^1\text{H}$ : 400 MHz,  $^{13}\text{C}$ : 100 MHz,  $\text{CD}_3\text{OD}$

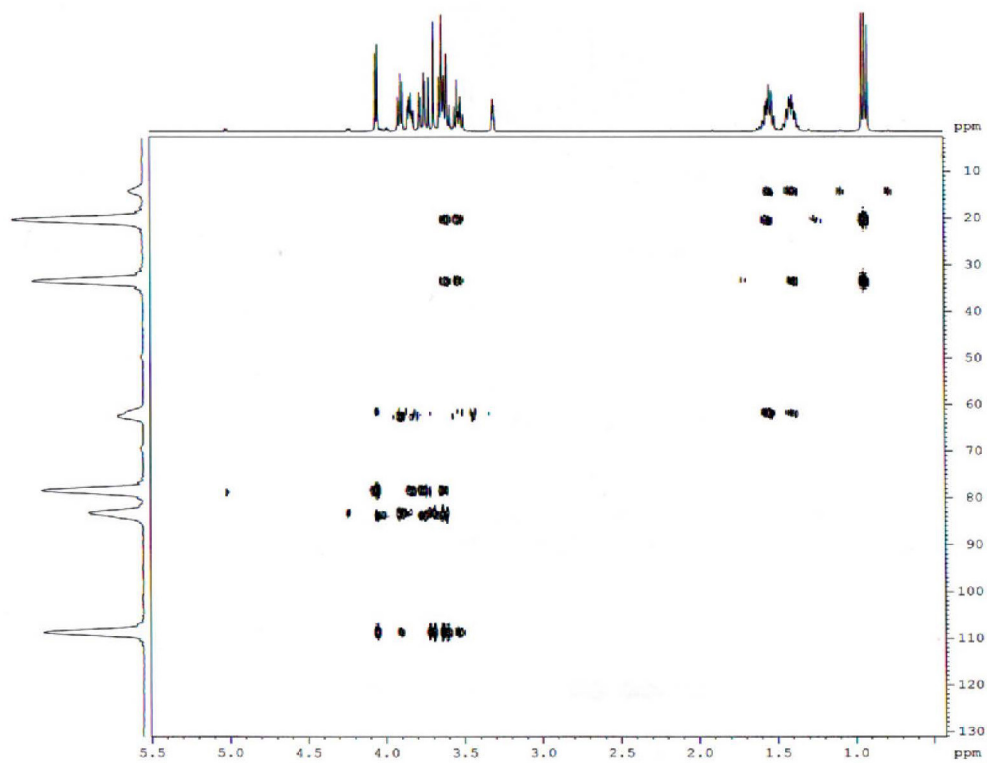


Figura 13S. Mapa de correlação de HMBC de **4**,  $^1\text{H}$ : 400 MHz,  $^{13}\text{C}$ : 100 MHz,  $\text{CD}_3\text{OD}$

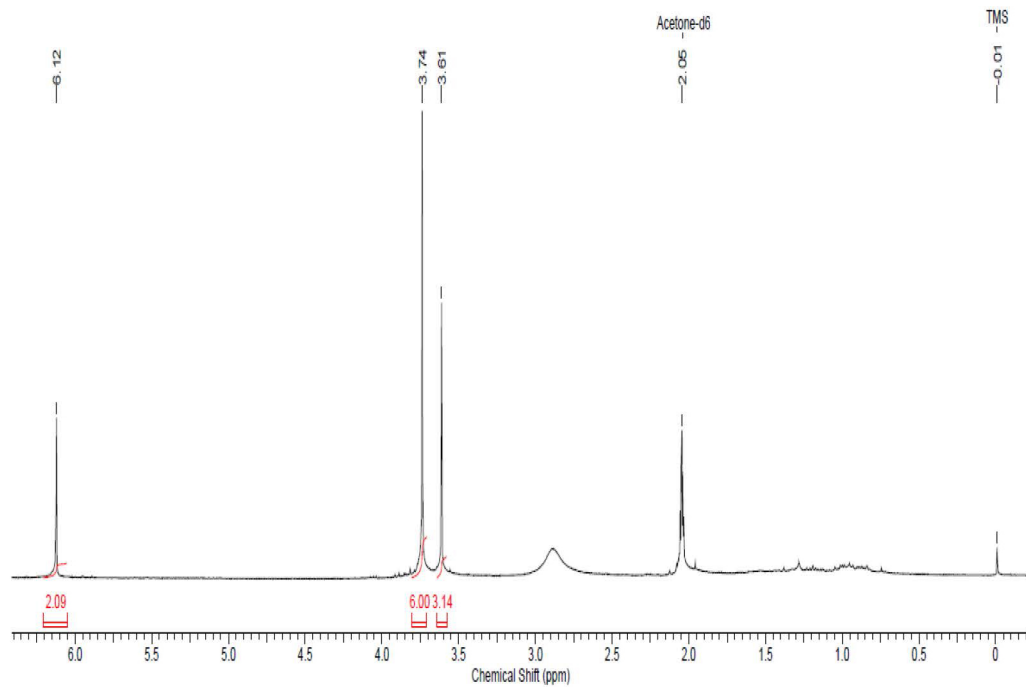


Figura 14S. Espectro de RMN  $^1\text{H}$  do ácido 2,4,6-trimetoxibenzóico, 400 MHz, acetona  $d_6$

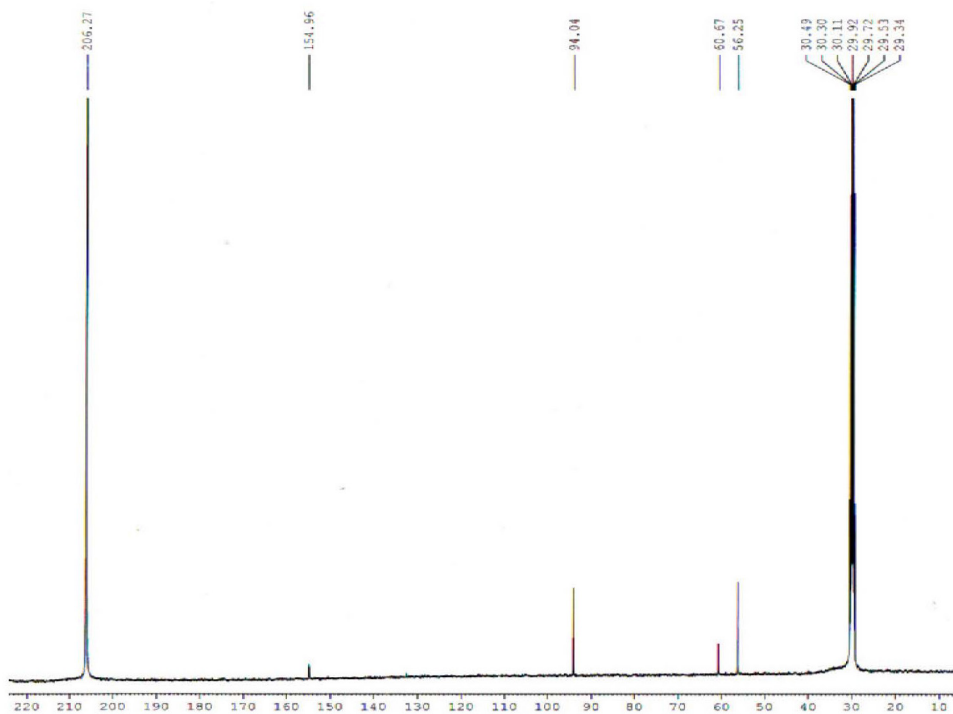


Figura 15S. Espectro de RMN  $^{13}\text{C}$  do ácido 2,4,6-trimetoxibenzóico, 100 MHz, acetona  $d_6$



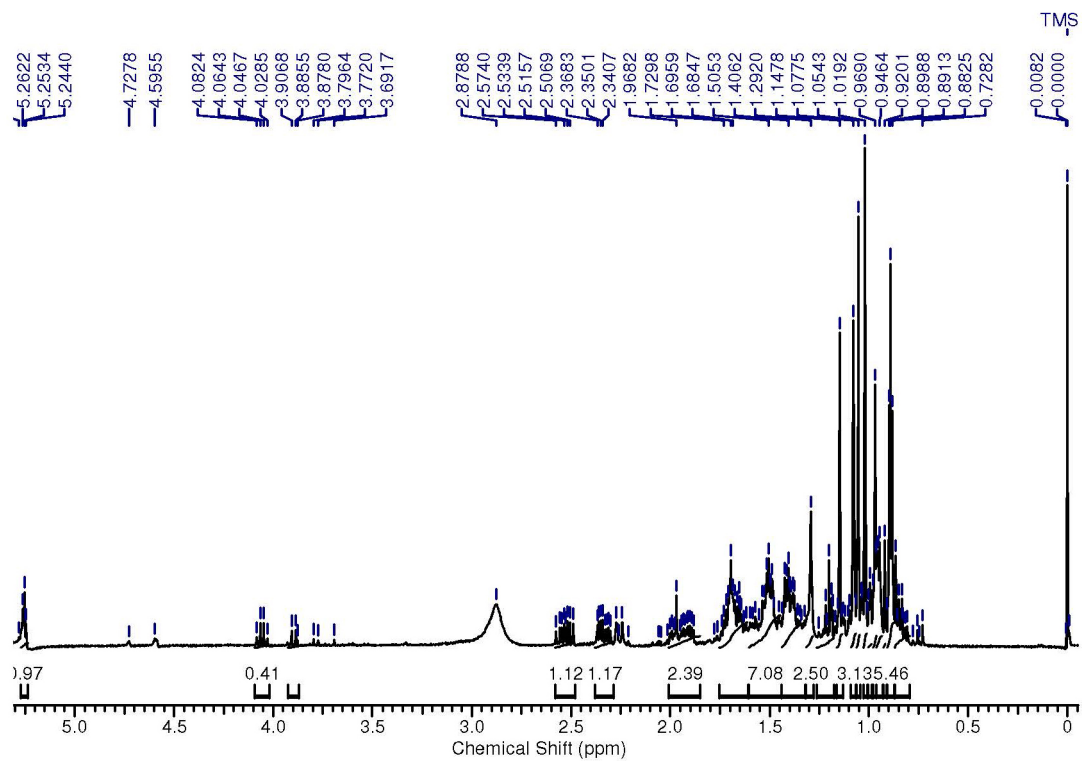


Figura 16S. Espectro de RMN  $^1\text{H}$  do ácido 3-oxo-urs-12en-28-oico, 400 MHz, acetona  $d_6$

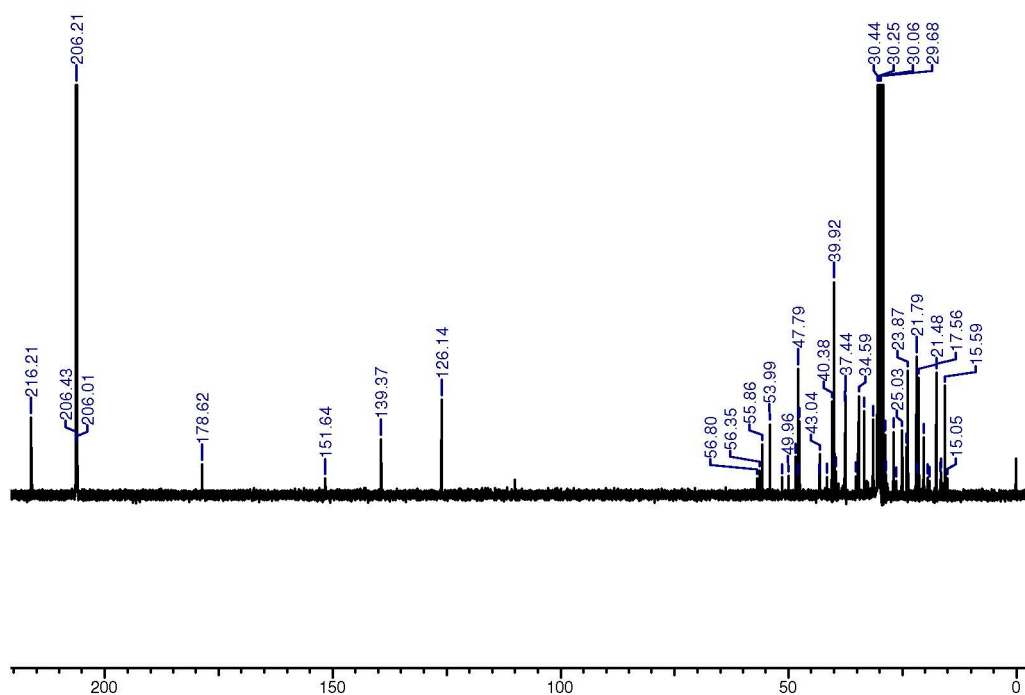


Figura 17S. Espectro de RMN  $^{13}\text{C}$  do ácido 3-oxo-urs-12en-28-oico, 100 MHz, acetona  $d_6$